

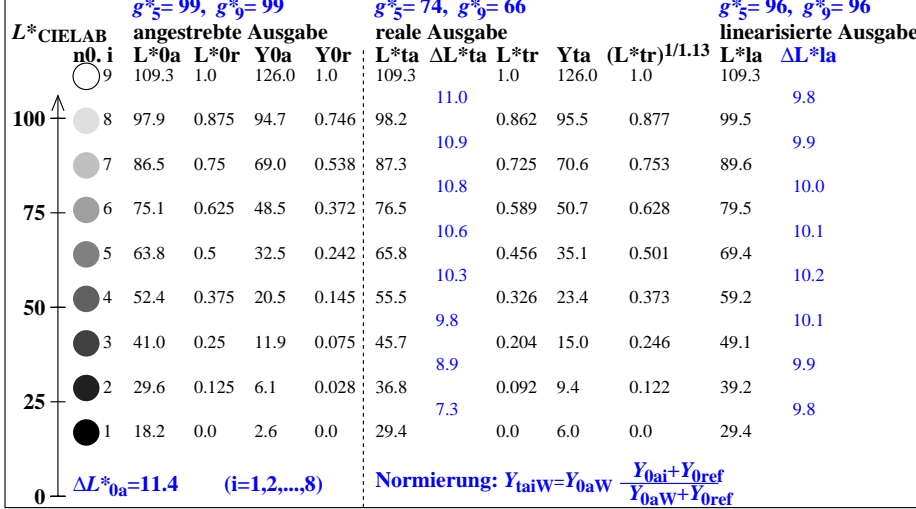
9stufige Grauskalierung zwischen $L^*_{0aN}=18.2$ und $L^*_{0aW}=109.2$, $Y_{0ref}=3.6$, Normierung Weiß W

$L^*_{0aN}=18.2$, $L^*_{0aU}=63.8$, $L^*_{0aW}=109.3$, $Y_{0aN}=2.6$, $Y_{0aU}=32.5$, $Y_{0aW}=126.0$, $C_{0aY}=Y_{0aW}:Y_{0aN}=49.0$

$L^*_{taN}=29.4$, $L^*_{taU}=65.8$, $L^*_{taW}=109.3$, $Y_{taN}=6.0$, $Y_{taU}=35.1$, $Y_{taW}=126.0$, $C_{taY}=Y_{taW}:Y_{taN}=21.0$

Regularitätsindex nach ISO/IEC 15775:2022, Anhang G für 5 und 9 Stufen

$g^* = 100 [\Delta L^*_{min}] / [\Delta L^*_{max}]$, $L^*_{CIELAB} = 116 [Y/Y_n]^{1/3} - 16$ mit $Y >= 0,882$, $Y_n=100$



egk40-3n

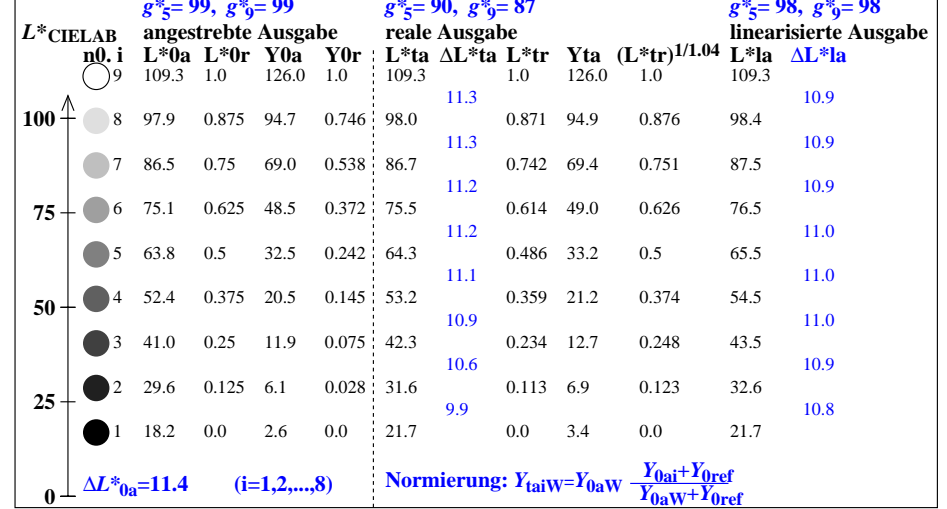
9stufige Grauskalierung zwischen $L^*_{0aN}=18.2$ und $L^*_{0aW}=109.2$, $Y_{0ref}=0.9$, Normierung Weiß W

$L^*_{0aN}=18.2$, $L^*_{0aU}=63.8$, $L^*_{0aW}=109.3$, $Y_{0aN}=2.6$, $Y_{0aU}=32.5$, $Y_{0aW}=126.0$, $C_{0aY}=Y_{0aW}:Y_{0aN}=49.0$

$L^*_{taN}=21.7$, $L^*_{taU}=64.3$, $L^*_{taW}=109.3$, $Y_{taN}=3.4$, $Y_{taU}=33.2$, $Y_{taW}=126.0$, $C_{taY}=Y_{taW}:Y_{taN}=36.5$

Regularitätsindex nach ISO/IEC 15775:2022, Anhang G für 5 und 9 Stufen

$g^* = 100 [\Delta L^*_{min}] / [\Delta L^*_{max}]$, $L^*_{CIELAB} = 116 [Y/Y_n]^{1/3} - 16$ mit $Y >= 0,882$, $Y_n=100$



egk41-3n

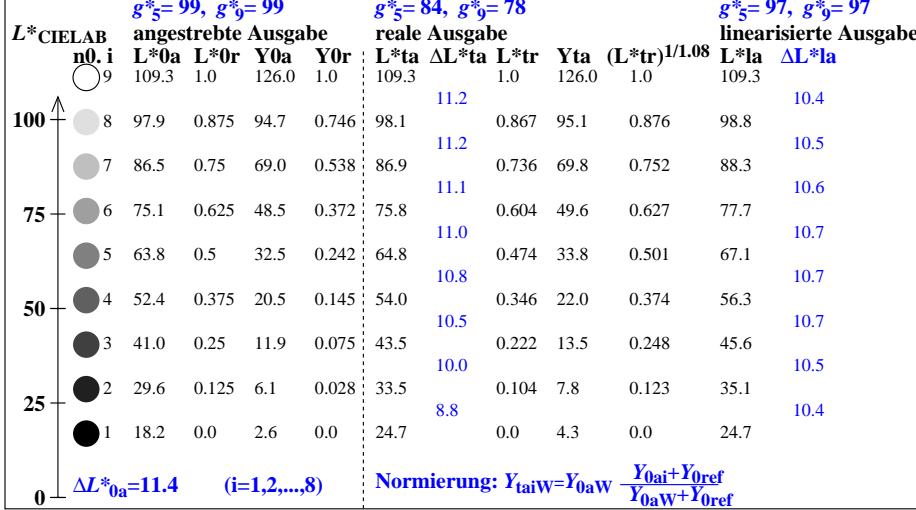
9stufige Grauskalierung zwischen $L^*_{0aN}=18.2$ und $L^*_{0aW}=109.2$, $Y_{0ref}=1.8$, Normierung Weiß W

$L^*_{0aN}=18.2$, $L^*_{0aU}=63.8$, $L^*_{0aW}=109.3$, $Y_{0aN}=2.6$, $Y_{0aU}=32.5$, $Y_{0aW}=126.0$, $C_{0aY}=Y_{0aW}:Y_{0aN}=49.0$

$L^*_{taN}=24.7$, $L^*_{taU}=64.8$, $L^*_{taW}=109.3$, $Y_{taN}=4.3$, $Y_{taU}=33.8$, $Y_{taW}=126.0$, $C_{taY}=Y_{taW}:Y_{taN}=29.2$

Regularitätsindex nach ISO/IEC 15775:2022, Anhang G für 5 und 9 Stufen

$g^* = 100 [\Delta L^*_{min}] / [\Delta L^*_{max}]$, $L^*_{CIELAB} = 116 [Y/Y_n]^{1/3} - 16$ mit $Y >= 0,882$, $Y_n=100$



egk40-7n

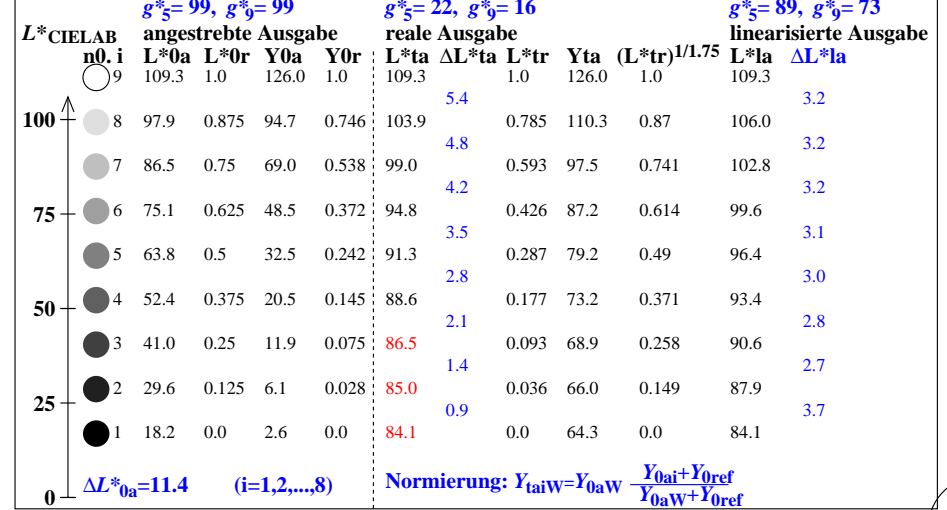
9stufige Grauskalierung zwischen $L^*_{0aN}=18.2$ und $L^*_{0aW}=109.2$, $Y_{0ref}=126.0$, Normierung Weiß W

$L^*_{0aN}=18.2$, $L^*_{0aU}=63.8$, $L^*_{0aW}=109.3$, $Y_{0aN}=2.6$, $Y_{0aU}=32.5$, $Y_{0aW}=126.0$, $C_{0aY}=Y_{0aW}:Y_{0aN}=49.0$

$L^*_{taN}=84.1$, $L^*_{taU}=91.3$, $L^*_{taW}=109.3$, $Y_{taN}=64.3$, $Y_{taU}=79.2$, $Y_{taW}=126.0$, $C_{taY}=Y_{taW}:Y_{taN}=1.9$

Regularitätsindex nach ISO/IEC 15775:2022, Anhang G für 5 und 9 Stufen

$g^* = 100 [\Delta L^*_{min}] / [\Delta L^*_{max}]$, $L^*_{CIELAB} = 116 [Y/Y_n]^{1/3} - 16$ mit $Y >= 0,882$, $Y_n=100$



egk41-7n

Siehe ähnliche Dateien der ganzen Serie: http://farbe.li.tu-berlin.de/egks.htm
Technische Information: http://farbe.li.tu-berlin.de oder http://color.li.tu-berlin.de

TUB-Registrierung: 20230701-egk4/egk410np.pdf / .ps
Anwendung für Beurteilung und Messung von Display- oder Druck-Ausgabe
TUB-Material: Code=rh4ta